

费米黄金规则 (Fermi Golden Rule)

考虑到我们最近也在学量子力学，利用量子力学推导费米黄金规则并不困难。所以简单推导一下

我们考虑的是具有哈密顿量 \hat{H} 的系统具有一个含时的微扰 $\hat{V}(t)$

$$\hat{H}' = \hat{H} + \hat{V}(t)$$

将 t 时刻的状态按照该时刻 \hat{H} 的本征态 $|\psi_j(t)\rangle$ 展开

$$|\psi(t)\rangle = \sum_i c_i(t) |\psi_i(t)\rangle$$

注意到本征态随时间演化的规律为

$$\begin{aligned} |\psi_i(t)\rangle &= |\psi_i(0)\rangle e^{-i\frac{E_i}{\hbar}t} := |\psi_{i0}\rangle e^{-i\frac{E_i}{\hbar}t} \\ \Rightarrow |\psi(t)\rangle &= \sum_i c_i(t) |\psi_{i0}\rangle e^{-i\frac{E_i}{\hbar}t} \end{aligned}$$

根据薛定谔方程计算量子态的演化

$$\begin{aligned} \mathbf{i}\hbar \frac{\partial}{\partial t} |\psi(t)\rangle &= \hat{H}' |\psi(t)\rangle \\ \text{LHS} &= \sum_i \mathbf{i}\hbar \frac{\partial c_i(t)}{\partial t} |\psi_{i0}\rangle e^{-\mathbf{i}\frac{E_i}{\hbar}t} + \sum_i c_i(t) \mathbf{i}\hbar |\psi_{i0}\rangle \cdot \left(-\mathbf{i}\frac{E_i}{\hbar}\right) e^{-\mathbf{i}\frac{E_i}{\hbar}t} \\ &= \sum_i \mathbf{i}\hbar \frac{\partial c_i(t)}{\partial t} |\psi_{i0}\rangle e^{-\mathbf{i}\frac{E_i}{\hbar}t} + \sum_i E_i c_i(t) |\psi_{i0}\rangle e^{-\mathbf{i}\frac{E_i}{\hbar}t} \\ \text{RHS} &= (\hat{H} + \hat{V}(t)) |\psi(t)\rangle \\ &= \hat{H} \left(\sum_i c_i(t) |\psi_{i0}\rangle e^{-\mathbf{i}\frac{E_i}{\hbar}t} \right) + \hat{V}(t) \left(\sum_i c_i(t) |\psi_{i0}\rangle e^{-\mathbf{i}\frac{E_i}{\hbar}t} \right) \\ &= \sum_i c_i(t) E_i |\psi_{i0}\rangle e^{-\mathbf{i}\frac{E_i}{\hbar}t} + \left(\sum_i c_i(t) \hat{V}(t) |\psi_{i0}\rangle e^{-\mathbf{i}\frac{E_i}{\hbar}t} \right) \end{aligned}$$

于是我们得到

$$\sum_i \mathbf{i}\hbar \frac{\partial c_i(t)}{\partial t} |\psi_{i0}\rangle e^{-\mathbf{i}\frac{E_i}{\hbar}t} = \sum_i c_i(t) \hat{V}(t) |\psi_{i0}\rangle e^{-\mathbf{i}\frac{E_i}{\hbar}t}$$

两边作用 $\langle \psi_{k0} |$, 则得到

$$\mathbf{i}\hbar \frac{\partial c_k(t)}{\partial t} e^{-\mathbf{i}\frac{E_k}{\hbar}t} = \sum_i c_i(t) \langle \psi_{k0} | \hat{V}(t) | \psi_{i0} \rangle e^{-\mathbf{i}\frac{E_i}{\hbar}t}$$
$$\langle \psi_{k0} | \hat{V}(t) | \psi_{i0} \rangle =: V_{ki}(t), \omega_{ki} = \frac{E_k - E_i}{\hbar}$$

于是

$$\frac{\partial c_k(t)}{\partial t} = \frac{1}{\mathbf{i}\hbar} \sum_i c_i(t) V_{ki}(t) e^{\mathbf{i}\omega_{ki}t}$$
$$c_k(t) = \frac{1}{\mathbf{i}\hbar} \int_0^t \sum_i c_i(t) V_{ki}(t) e^{\mathbf{i}\omega_{ki}t} dt$$

到此都没有做任何近似

让时间 t 为小量, 以至于 c_i, V_{ki} 的变化可以忽略

$$c_k(t) = \sum_i c_i(0) V_{ki}(0) \frac{1 - e^{i\omega_{ki}t}}{\hbar\omega_{ki}}$$

再假设初态是 \hat{H} 的本征态 $|\psi_{n0}\rangle$, 这意味着 $c_i(0) = \delta_{in}$

$$c_k(t) = V_{kn}(0) \frac{1 - e^{i\omega_{kn}t}}{\hbar\omega_{kn}} = V_{kn}(0) e^{\frac{i\omega_{kn}t}{2}} \frac{\sin \frac{\omega_{nk}t}{2}}{\hbar\omega_{nk}/2}$$

这也就意味着在 t 时刻取得 H 的本征态 $|\psi_k(t)\rangle$ 的概率 $|c_k(t)|^2$ 为

$$P_{n \rightarrow k} = |c_k(t)|^2 = \frac{1}{\hbar^2} |V_{kn}|^2 \frac{\sin^2(\omega_{nk}t/2)}{(\omega_{nk}/2)^2}$$

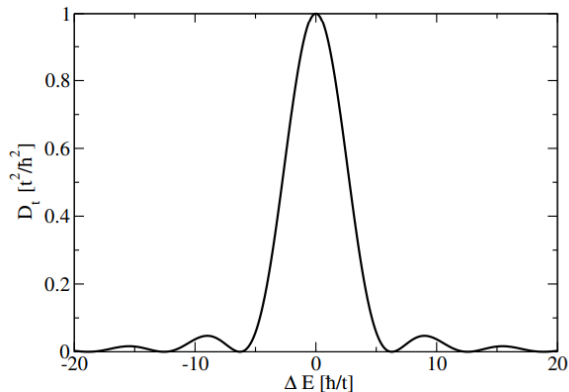
我们感兴趣的其实是能量本征态, 也就意味着末态可能存在简并

实际计算简并非常复杂, 我们使用态密度近似

$$P = \frac{1}{\hbar^2} |V_{kn}|^2 \int_{-\infty}^{+\infty} \rho(\omega) \frac{\sin^2((\omega_{nk} - \omega)t/2)}{((\omega_{nk} - \omega)/2)^2} d\omega$$

$$P = \frac{1}{\hbar^2} |V_{kn}|^2 \int_{-\infty}^{+\infty} \rho(\omega) \frac{\sin^2((\omega_{nk} - \omega)t/2)}{((\omega_{nk} - \omega)/2)^2} d\omega$$

其中 $\frac{\sin^2(xt/2)}{(x/2)^2}$ 对于足够小的 t 是一个典型的 δ 函数（没有归一化，归一化系数是其广义积分的倒数）



于是

$$P \approx \frac{1}{\hbar^2} |V_{kn}|^2 \rho(\omega_{nk}) \int_{-\infty}^{+\infty} \frac{\sin^2((\omega_{nk} - \omega)t/2)}{((\omega_{nk} - \omega)/2)^2} d\omega = \frac{2\pi}{\hbar^2} |V_{kn}|^2 \rho(\omega_{nk}) t$$

我们还是将态密度改成对能量的分布函数，根据 $\omega_{nk} = E_{nk} / \hbar$, $\rho(\omega_{nk}) = \rho(E_{nk}) \cdot \hbar$

$$P = \frac{2\pi}{\hbar} |V_{kn}|^2 \rho(E_{nk}) t$$
$$\Rightarrow \lambda = \frac{dP}{dt} = \frac{2\pi}{\hbar} |V_{kn}|^2 \rho(E_{nk})$$

这就是费米黄金规则，这里初态用 n 标记，末态用 k 标记。一般初末态使用 i, f 标记

$$\lambda_{i \rightarrow f} = \frac{dP}{dt} = \frac{2\pi}{\hbar} |V_{fi}|^2 \rho(E_{if})$$

实际上费米黄金定则不一定总是要让末态为能量本征态，更多的时候选择合适的量子态作为考虑的末态，并且选择合适的态密度描述。

β 衰变的费米理论

$$n \rightarrow p + e^- + \bar{\nu}_e$$

考虑 β 衰变的反应能是 Q ，反应能是始末态能量差，故 $Q = E_{if} = T_e + T_\nu$ 。取 β 衰变中，出射电子动量为 $[p, p + dp]$ 范围内的部分。这部分的辐射常数 λ 为

$$\frac{d\lambda}{dp} = \frac{2\pi}{\hbar} |V_{fi}|^2 \frac{dN}{dp dE_{if}}$$

这里的 dN 包含了两部分的量子态——电子以及中微子的，忽略反冲核的影响。

$$\frac{dN}{dp dE_{if}} = \frac{dN_e}{dp} \cdot \frac{dN_\nu}{dp_\nu} \cdot \frac{dp_\nu}{dE_{if}}$$

认为产生的电子和中微子是自由的

$$p_i = \frac{n_i \pi \hbar}{L}$$
$$\frac{dN}{dp} = \frac{1}{2\pi^2} \frac{L^3}{\hbar^3} p^2$$

$$\frac{dN}{dp dE_{if}} = \frac{dN_e}{dp} \cdot \frac{dN_\nu}{dp_\nu} \cdot \frac{dp_\nu}{dE_{if}} = \frac{1}{2\pi^2} \frac{L^3}{\hbar^3} p^2 \frac{1}{2\pi^2} \frac{L^3}{\hbar^3} p_\nu^2 \cdot \frac{1}{c}$$

这里我们忽略了中微子的静止质量，从而得到 $\frac{dp_\nu}{dE_{if}} = \frac{1}{c}$

$$\frac{d\lambda}{dp} = \frac{L^6}{2\hbar^7 c \pi^3} |V_{if}|^2 \cdot p^2 \cdot p_\nu^2$$

实际上 $p_\nu = \frac{T_\nu}{c} = \frac{Q - T_e}{c}$ ，于是

$$\frac{d\lambda}{dp} = \frac{L^6}{2\hbar^7 c^3 \pi^3} |V_{if}|^2 \cdot p^2 \cdot (Q - T_e)^2$$

这就得到了不同动量的电子的辐射常数，也即 β 射线的动量谱。

书上提到了一个修正因子 $F(Z, E) = \frac{x}{1 - e^{-x}}$, $x = \frac{2\pi Zc}{137v}$ ，这一项修正是对原子核的库伦场的修正。（严格讨论这些相互作用需要熟练掌握场论？）

$$\frac{d\lambda}{dp} = \frac{L^6}{2\hbar^7 c^3 \pi^3} |V_{if}|^2 \cdot p^2 \cdot (Q - T_e)^2 \cdot F(Z, E) \quad (1)$$

修正后的结果更加符合实验了

跃迁、选择定则

现在来计算 $|V_{if}|^2$

$$V_{if} = \langle \psi_i | \hat{V} | \psi_f \rangle$$

我们的问题中，是电子和中微子双粒子态，且认为它们的末态是在周期性方盒中

$$\psi_{ef} = \frac{1}{\sqrt{V}} \exp(-i\mathbf{k}_e \cdot \mathbf{r}), \psi_{ef} = \frac{1}{\sqrt{V}} \exp(-i\mathbf{k}_\nu \cdot \mathbf{r})$$

$$V_{if} = \frac{1}{V} \int \psi_{e0}^* \psi_{\nu 0}^* \hat{V} \exp(-i(\mathbf{k}_e + \mathbf{k}_\nu) \cdot \mathbf{r}) d\mathbf{r}$$

不难看出 V_{if} 是一个关于 $\exp(-i(\mathbf{k}_e + \mathbf{k}_\nu) \cdot \mathbf{r})$ 线性的量

我们可以把这个式子做展开（e指数展开或者球球面波展开）

$$\exp(-i(\mathbf{k}_e + \mathbf{k}_\nu) \cdot \mathbf{r}) = \begin{cases} 1 - i(\mathbf{k}_e + \mathbf{k}_\nu) \cdot \mathbf{r} - \frac{1}{2}((\mathbf{k}_e + \mathbf{k}_\nu) \cdot \mathbf{r})^2 + \dots \\ \sum_{l=0}^{\infty} (2l+1)(-1)^l J_l(|(\mathbf{k}_e + \mathbf{k}_\nu) \cdot \mathbf{r}|) P_l(\cos \theta) \end{cases}$$

当展开式中的主项（ $l = 0$ 的项）具有贡献是，称为**容许跃迁**。

如果主项的贡献为0，则余项的贡献下，跃迁的概率非常小，称为**禁戒跃迁**。

衰变过程具有一定的守恒律，从而可以得到一定的选择定则。这部分的内容较为繁琐。

库里厄图 (Kurie Plot)

注意这是plot。不是picture也不是diagram。

实验上，为了可以验证 β 衰变的Fermi理论，Kurie首先采用一些变换处理手段将关系转化为近线性的关系来研究，也就是说Kurie图是一种专门的实验数据可视化的方法。方法如下

$$\begin{aligned}\frac{d\lambda}{dp} &= \frac{L^6}{2\hbar^7 c^3 \pi^3} |V_{if}|^2 \cdot p^2 \cdot (Q - T_e)^2 \cdot F(Z, E) \\ \Rightarrow \sqrt{\frac{1}{p^2 F(Z, E)} \frac{d\lambda}{dp}} &= K(Q - T_e)\end{aligned}$$

Kurie图即绘制 $\sqrt{\frac{1}{p^2 F(Z, E)} \frac{d\lambda}{dp}}$ 和 T_e 的曲线，得到一个明显的线性关系。

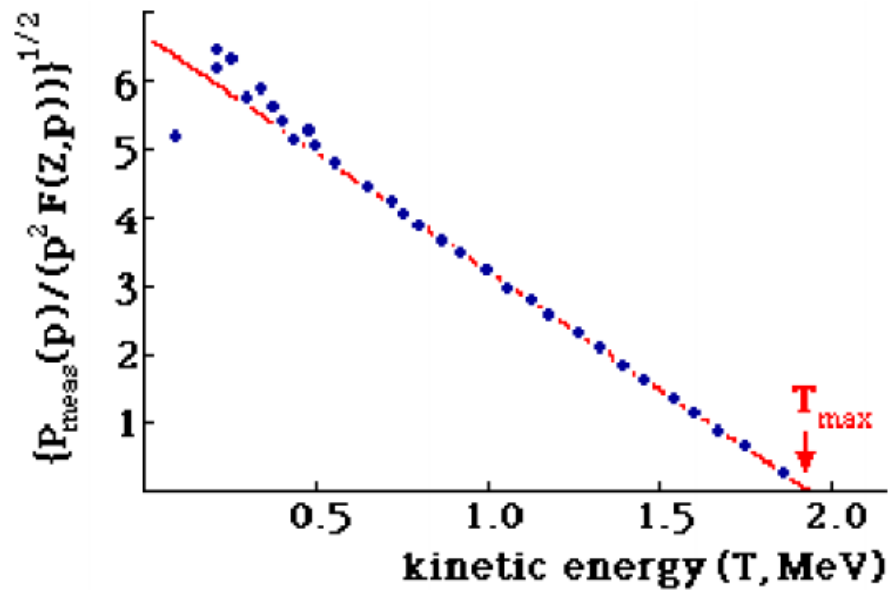


Figure 1: 图片来源phys.libretexts.org

$$\sqrt{\frac{1}{p^2 F(Z, E)} \frac{d\lambda}{dp}} = K(Q - T_e)$$

可惜好事情不是总发生的，库里厄图是线性的，这一点要求 K 是不变的。

$$K=\sqrt{\frac{L^6}{2\hbar^7c^3\pi^3}}|V_{if}|^2=\sqrt{\frac{L^6}{2\hbar^7c^3\pi^3}}|V_{if}|$$

对于容许跃迁

$$K\propto |V_0|\approx \frac{1}{V}\int \psi_{e0}^*\psi_{\nu 0}^*\hat{V}(1)d\boldsymbol{r}$$

K 基本不变

对于禁戒跃迁，存在一定的形状因子 $S_n(E)$ ，在修补了形状因子后，也可以得到较好的线性性。

$$\boxed{\sqrt{\frac{1}{p^2F(Z,E)}\frac{d\lambda}{dp}S_n}}=K\Big(Q-\boxed{T_e}\Big)$$

- 观察表达式不难发现，曲线和 X 轴的交点恰好是反应能，同时由于曲线具有良好的线性性，通过线性拟合可以得到反应能 Q 的非常精确的结果。
- 库里厄图同时还可以用来对复杂 β 谱进行分解。

复杂 β 谱的 $|V_{if}|$ 不固定，但能量最高的 β 射线的跃迁矩阵元是固定的，于是通过高能区的直线向低能区延长，可以分辨计数的来源是何种 β 衰变。
- 通过选取最合适的形状因子，可以判断跃迁的类型，不同禁戒跃迁对应不同的形状因子。
- 可以测量中微子质量

实际的曲线在高能端有偏移，偏移是由于中微子具有质量造成的。经过复杂的运算验证后，发现偏离线性拟合的横截距的程度恰好就是中微子的质量。

参考文献

1. 荣誉课程参考资料
2. 密歇根大学的核物理课程讲义
 - (a) <http://websites.umich.edu/~ners311/CourseLibrary/bookchapter13.pdf>
 - (b) <http://websites.umich.edu/~ners311/CourseLibrary/bookchapter15.pdf>
3. 隆德大学课程讲义<http://www.matfys.lth.se/staff/andreas.wacker/Scripts/fermiGR.pdf>